

Московский государственный университет имени М. В.  
Ломоносова  
Механико-математический факультет  
Практикум по ЭВМ

Отчёт 1. Вариант 15

«Решение краевых задач методом конечных  
элементов»

Работу подготовила:  
Кочергина Ксения Михайловна  
405 группа кафедры МаТИС

Семинарист:  
Безяев Владимир Иванович  
доцент кафедры Выч. мат.

Москва, 2025

## Содержание

<b>1</b>	<b>Постановка задачи</b>	<b>2</b>
<b>2</b>	<b>Метод конечных элементов</b>	<b>2</b>
2.1	Слабая форма . . . . .	2
2.2	Конечно-элементная аппроксимация . . . . .	2
2.3	Система уравнений . . . . .	3
2.3.1	При $\alpha \neq 0$ . . . . .	3
2.3.2	При $\alpha = 0$ . . . . .	3
2.4	Алгоритм решения . . . . .	4
<b>3</b>	<b>Результаты</b>	<b>5</b>
3.1	пример 1: $f = 0$ . . . . .	5
3.1.1	Аналитическое решение для $\alpha = 0$ . . . . .	5
3.1.2	Случай $\alpha \neq 0$ . . . . .	5
3.1.3	Графики . . . . .	6
3.2	пример 2: $f = 1, \alpha = 0$ . . . . .	7
3.3	пример 3: $f = 1, \alpha \neq 0$ . . . . .	8
3.4	пример 4: $f = \sin(\pi x), \alpha = 0$ . . . . .	8
3.5	пример 5: $f = \sin(7\pi x), \alpha = 0$ . . . . .	10
<b>4</b>	<b>Физический смысл</b>	<b>12</b>
<b>5</b>	<b>Выводы</b>	<b>12</b>
<b>6</b>	<b>Приложения</b>	<b>13</b>
6.1	Репозиторий кода . . . . .	13
6.2	Метод прогонки . . . . .	13
6.3	Квадратурный метод Гаусса . . . . .	13
6.4	Листинг программы . . . . .	14
	<b>Список литературы</b>	<b>16</b>

## 1 Постановка задачи

Необходимо аппроксимировать следующую задачу с помощью метода конечных элементов (кусочно-линейных) и найти решение полученной системы алгебраических уравнений при различных  $h$ ,  $f$  и  $\alpha$ :

$$-(ku')' + 4u = f(x), \quad 0 < x < 1,$$

с граничными условиями:

$$u(0) = u(1) = 0,$$

где

$$k(x) = e^{\alpha x}.$$

## 2 Метод конечных элементов

### 2.1 Слабая форма

Умножим уравнение на тестовую функцию  $v \in H_0^1(0, 1)$  и проинтегрируем по частям:

$$\int_0^1 ku'v'dx + 4 \int_0^1 uvdx = \int_0^1 fvdx.$$

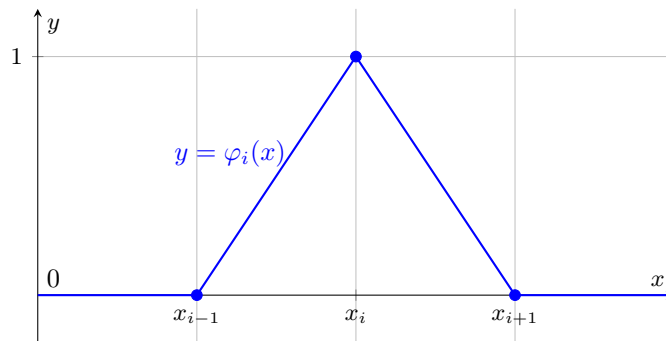
### 2.2 Конечно-элементная аппроксимация

Введём равномерную сетку:

$$x_i = ih, \quad i = 0, 1, \dots, N, \quad h = \frac{1}{N}.$$

Используем кусочно-линейные базисные функции  $\varphi_i(x)$ , такие что:

$$\varphi_i(x_j) = \delta_{ij}, \quad \text{supp}(\varphi_i) = [x_{i-1}, x_{i+1}]$$



Приближённое решение ищем в виде:

$$u_h(x) = \sum_{j=1}^{N-1} c_j \varphi_j(x)$$

## 2.3 Система уравнений

Подставим  $u_h$  в слабую форму и выберем  $v = \varphi_i$ . Получим СЛАУ:

$$\sum_{j=1}^{N-1} c_j \left[ \int_0^1 k \varphi_j' \varphi_i' dx + 4 \int_0^1 \varphi_j \varphi_i dx \right] = \int_0^1 f \varphi_i dx, \quad i = 1, \dots, N-1$$

Обозначим:

$$A_{ij} = \int_0^1 k \varphi_j' \varphi_i' dx + 4 \int_0^1 \varphi_j \varphi_i dx, \quad b_i = \int_0^1 f \varphi_i dx$$

Тогда система принимает вид:

$$A \mathbf{c} = \mathbf{b}$$

Матрица  $A$  трёхдиагональная, вычислим её ненулевые элементы:

$$A_{ii} = \frac{1}{h^2} \left[ \int_{x_{i-1}}^{x_i} k(x) dx + \int_{x_i}^{x_{i+1}} k(x) dx \right] + 4 \cdot \frac{2h}{3},$$

$$A_{i,i+1} = A_{i+1,i} = -\frac{1}{h^2} \int_{x_i}^{x_{i+1}} k(x) dx + 4 \cdot \frac{h}{6}$$

Вычислим правую часть:

$$b_i = \int_{x_{i-1}}^{x_{i+1}} f(x) \varphi_i(x) dx = \int_{x_{i-1}}^{x_i} f(x) \frac{x - x_{i-1}}{h} dx + \int_{x_i}^{x_{i+1}} f(x) \frac{x_{i+1} - x}{h} dx$$

### 2.3.1 При $\alpha \neq 0$

Для  $k(x) = e^{\alpha x}$  при  $\alpha \neq 0$  получаем:

$$\int_{x_{i-1}}^{x_i} k(x) dx = \frac{e^{\alpha x_i} - e^{\alpha x_{i-1}}}{\alpha}, \quad \int_{x_i}^{x_{i+1}} k(x) dx = \frac{e^{\alpha x_{i+1}} - e^{\alpha x_i}}{\alpha}$$

и элементы матрицы равны:

$$A_{ii} = \frac{1}{h^2 \alpha} (e^{\alpha x_{i+1}} - e^{\alpha x_{i-1}}) + \frac{8h}{3}$$

$$A_{i,i+1} = A_{i+1,i} = -\frac{1}{h^2 \alpha} (e^{\alpha x_{i+1}} - e^{\alpha x_i}) + \frac{2h}{3}$$

### 2.3.2 При $\alpha = 0$

При  $\alpha = 0$   $k(x) = 1$  и

$$\int_{x_{i-1}}^{x_i} k(x) dx = x_i - x_{i-1}, \quad \int_{x_i}^{x_{i+1}} k(x) dx = x_{i+1} - x_i$$

Диагональные элементы:  $A_{ii} = \frac{2}{h} + \frac{8h}{3}$

Внедиагональные элементы:  $A_{i,i+1} = A_{i+1,i} = -\frac{1}{h} + \frac{2h}{3}$

$$A = \frac{1}{h} \begin{pmatrix} 2 & -1 & 0 & \cdots & 0 \\ -1 & 2 & -1 & \ddots & \vdots \\ 0 & -1 & 2 & \ddots & 0 \\ \vdots & \ddots & \ddots & \ddots & -1 \\ 0 & \cdots & 0 & -1 & 2 \end{pmatrix} + \frac{2h}{3} \begin{pmatrix} 4 & 1 & 0 & \cdots & 0 \\ 1 & 4 & 1 & \ddots & \vdots \\ 0 & 1 & 4 & \ddots & 0 \\ \vdots & \ddots & \ddots & \ddots & 1 \\ 0 & \cdots & 0 & 1 & 4 \end{pmatrix}$$

## 2.4 Алгоритм решения

1. Задать параметры:  $h$ ,  $\alpha$ , функцию  $f(x)$
2. Построить равномерную сетку:  $x_i = ih$ ,  $i = 0, 1, \dots, N$ , где  $h = 1/N$
3. Вычислить элементы матрицы  $A$  по приведённым формулам
4. Вычислить элементы вектора правой части  $b_i$  с помощью квадратурных формул
5. Решить трёхдиагональную систему  $A\mathbf{c} = \mathbf{b}$  методом прогонки
6. Построить приближённое решение  $u_h(x) = \sum_{j=1}^{N-1} c_j \varphi_j(x)$

## 3 Результаты

### 3.1 пример 1: $f = 0$

#### 3.1.1 Аналитическое решение для $\alpha = 0$

Для  $f = 0$  и  $\alpha = 0$  уравнение упрощается до:

$$-u'' + 4u = 0, \quad 0 < x < 1$$

Характеристическое уравнение:  $-r^2 + 4 = 0 \Rightarrow r = \pm 2$

Общее решение:  $u(x) = C_1 e^{2x} + C_2 e^{-2x}$

С учетом граничных условий:

$$\begin{cases} u(0) = C_1 + C_2 = 0, \\ u(1) = C_1 e^2 + C_2 e^{-2} = 0 \end{cases} \Rightarrow C_1 = C_2 = 0$$

Аналитическое решение:  $u(x) = 0$

#### 3.1.2 Случай $\alpha \neq 0$

Уравнение преобразуется к виду:

$$\begin{aligned} -(e^{\alpha x} u')' + 4u &= -e^{\alpha x} u'' - \alpha e^{\alpha x} u' + 4u = 0 \quad | \cdot (-e^{-\alpha x}) \\ u'' + \alpha u' - 4e^{-\alpha x} u &= 0 \end{aligned}$$

С помощью замены переменной  $t = e^{-\alpha x}$  уравнение сводится к:

$$\frac{d^2 u}{dt^2} - \frac{4}{\alpha^2 t} u = 0$$

Далее, замена  $s = \ln t$  преобразует уравнение в линейное уравнение с постоянными коэффициентами:

$$u_{ss} - u_s - \frac{4}{\alpha^2} u = 0$$

Характеристическое уравнение:

$$r^2 - r - \frac{4}{\alpha^2} = 0 \Rightarrow r = \frac{\alpha \pm \sqrt{\alpha^2 + 16}}{2\alpha}$$

Общее решение относительно  $s$  (где  $s = -\alpha x$ ):  $u(s) = A e^{r_1 s} + B e^{r_2 s}$

$$u(x) = A \exp\left(-\frac{\alpha + \sqrt{\alpha^2 + 16}}{2} x\right) + B \exp\left(-\frac{\alpha - \sqrt{\alpha^2 + 16}}{2} x\right)$$

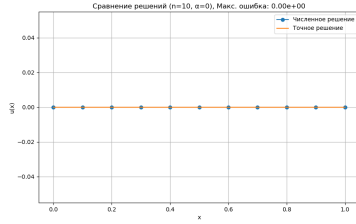
Применим граничные условия:

$$u(0) = A + B = 0 \Rightarrow B = -A$$

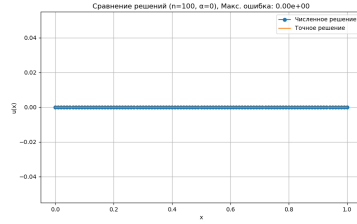
$$\begin{aligned}
u(1) &= A \left[ \exp \left( -\frac{\alpha + \sqrt{\alpha^2 + 16}}{2} \right) - \exp \left( -\frac{\alpha - \sqrt{\alpha^2 + 16}}{2} \right) \right] = \\
&= A e^{-\alpha/2} \left[ \exp \left( \frac{\sqrt{\alpha^2 + 16}}{2} \right) - \exp \left( -\frac{\sqrt{\alpha^2 + 16}}{2} \right) \right] = 0 \quad \Rightarrow \quad \begin{cases} A = 0, \\ B = 0 \end{cases}
\end{aligned}$$

Для всех значений  $\alpha$  единственным решением краевой задачи является тривиальное решение:  $u(x) = 0$ .

### 3.1.3 Графики

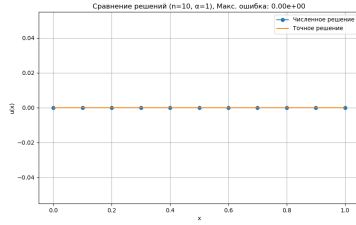


(a)  $n = 10$

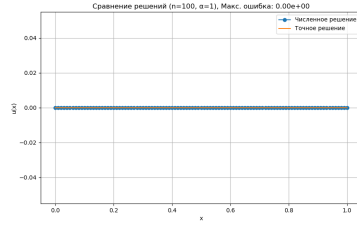


(b)  $n = 100$

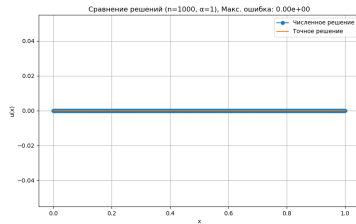
Рис. 1:  $f(x) = 0, \alpha = 0$



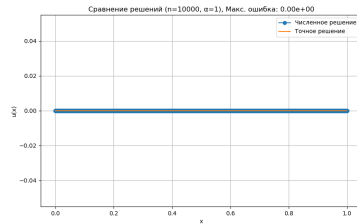
(a)  $n = 10$



(b)  $n = 100$



(c)  $n = 1000$



(d)  $n = 10000$

Рис. 2:  $f(x) = 0, \alpha = 1$

### 3.2 пример 2: $f = 1, \alpha = 0$

Для  $f = 1$  и  $\alpha = 0$  уравнение упрощается до:

$$-u'' + 4u = 1, \quad 0 < x < 1,$$

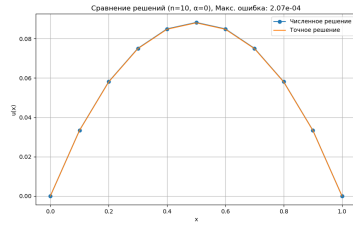
Общее решение неоднородного уравнения:

$$u(x) = C_1 e^{2x} + C_2 e^{-2x} + \frac{1}{4}$$

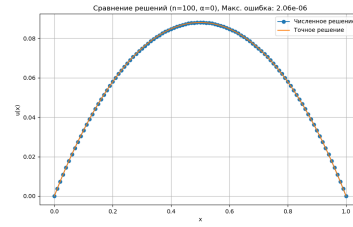
С учетом граничных условий получаем систему уравнений:

$$\begin{cases} u(0) = C_1 + C_2 + \frac{1}{4} = 0, \\ u(1) = C_1 e^2 + C_2 e^{-2} + \frac{1}{4} = 0 \end{cases} \Rightarrow \begin{cases} C_1 = \frac{e^{-2}-1}{4(e^2-e^{-2})}, \\ C_2 = \frac{1-e^2}{4(e^2-e^{-2})} \end{cases}$$

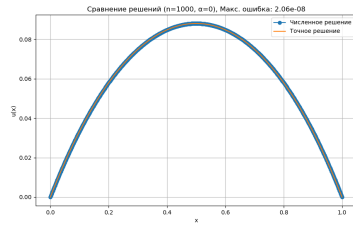
Аналитическое решение:  $u(x) = \frac{e^{-2}-1}{4(e^2-e^{-2})}e^{2x} + \frac{1-e^2}{4(e^2-e^{-2})}e^{-2x} + \frac{1}{4}$



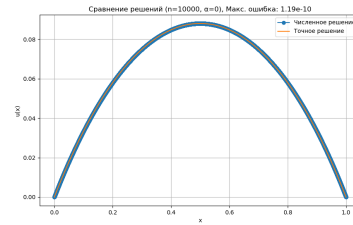
(a)  $n = 10$



(b)  $n = 100$



(c)  $n = 1000$



(d)  $n = 10000$

Рис. 3:  $f(x) = 1, \alpha = 0$



### 3.3 пример 3: $f = 1, \alpha \neq 0$

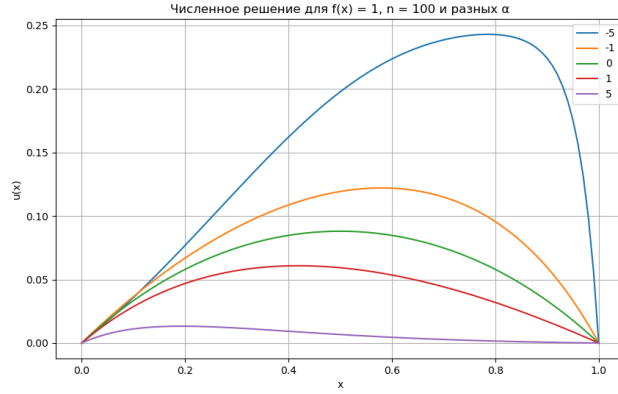


Рис. 4: График зависимости от параметра  $\alpha$  для  $f(x) = 1, h = 0.01$

### 3.4 пример 4: $f = \sin(\pi x), \alpha = 0$

Для  $f(x) = \sin(\pi x)$  и  $\alpha = 0$ :

$$-u'' + 4u = \sin(\pi x)$$

Частное решение ищем в виде:

$$u_p = A \sin(\pi x) + B \cos(\pi x)$$

Подставляем в уравнение:

$$\pi^2 A \sin(\pi x) + \pi^2 B \cos(\pi x) + 4A \sin(\pi x) + 4B \cos(\pi x) = \sin(\pi x)$$

Приравниваем коэффициенты:

$$\begin{cases} (\pi^2 + 4)A = 1 \\ (\pi^2 + 4)B = 0 \end{cases} \Rightarrow \begin{cases} A = \frac{1}{(\pi^2 + 4)}, \\ B = 0 \end{cases}$$

Частное решение:

$$u_p = \frac{\sin(\pi x)}{\pi^2 + 4}$$

Общее решение:

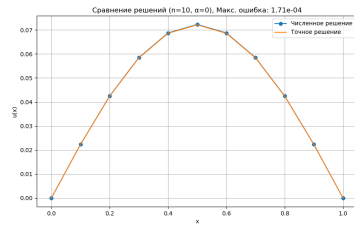
$$u(x) = C_1 e^{2x} + C_2 e^{-2x} + \frac{\sin(\pi x)}{\pi^2 + 4}$$

С учетом граничных условий:

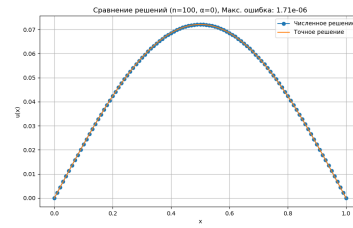
$$\begin{cases} u(0) = C_1 + C_2 = 0 \\ u(1) = C_1 e^2 + C_2 e^{-2} + \frac{\sin(\pi)}{\pi^2 + 4} = C_1 e^2 + C_2 e^{-2} = 0 \end{cases}$$

Решение системы:

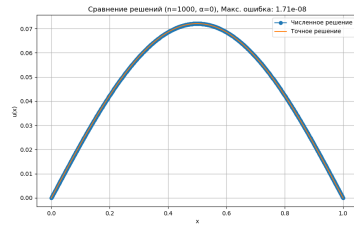
$$C_1 = C_2 = 0 \quad \Rightarrow \quad u(x) = \frac{\sin(\pi x)}{\pi^2 + 4}$$



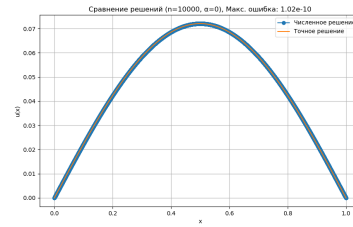
(a)  $n = 10$



(b)  $n = 100$



(c)  $n = 1000$



(d)  $n = 10000$

Рис. 5:  $f(x) = \sin(\pi x)$ ,  $\alpha = 0$

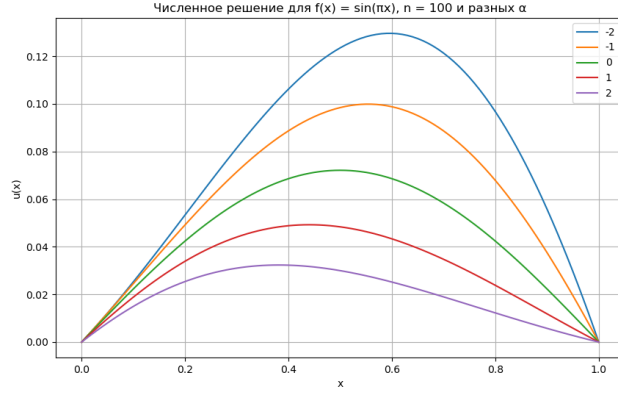


Рис. 6: График зависимости от параметра  $\alpha$  для  $f(x) = \sin(\pi x)$ ,  $h = 0.01$

### 3.5 пример 5: $f = \sin(7\pi x)$ , $\alpha = 0$

Будем искать частное решение в виде:

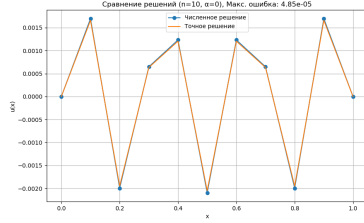
$$u_p(x) = A \sin(7x) + B \cos(7x).$$

Вычислим производные и подставим  $u_p$  в уравнение:

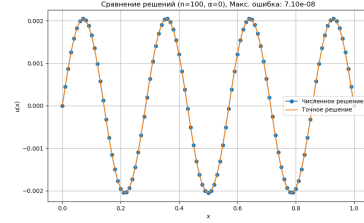
$$-(-49^2 A \sin(7x) - 49^2 B \cos(7x)) + 4(A \sin(7x) + B \cos(7x)) = \sin(7x)$$

$$\begin{cases} (49\pi^2 + 4)A = 1, \\ (49\pi^2 + 4)B = 0 \end{cases} \Rightarrow \begin{cases} A = \frac{1}{(49\pi^2 + 4)}, \\ B = 0 \end{cases}$$

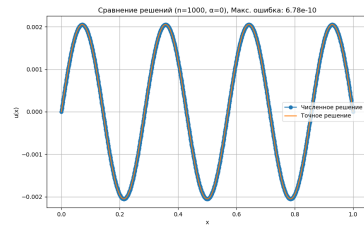
Итак, частное решение:  $u_p(x) = \frac{\sin(7x)}{(49\pi^2 + 4)}$



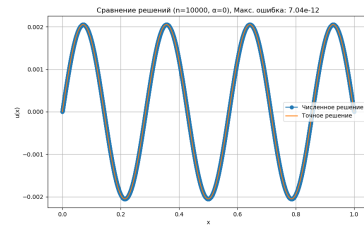
(a)  $n = 10$



(b)  $n = 100$



(c)  $n = 1000$



(d)  $n = 10000$

Рис. 7:  $f(x) = \sin(7\pi x)$ ,  $\alpha = 0$

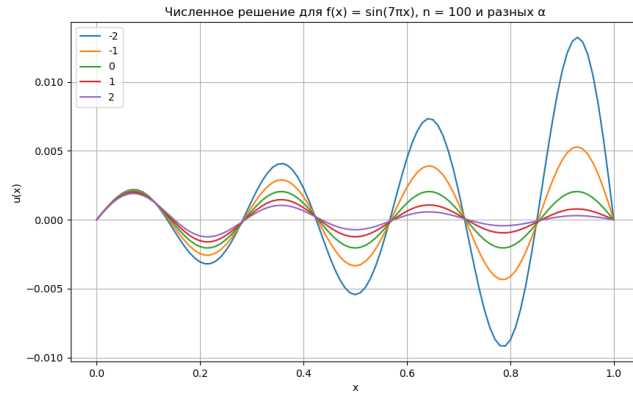


Рис. 8: График зависимости от параметра  $\alpha$  для  $f(x) = \sin(7\pi x)$ ,  $h = 0.01$

## 4 Физический смысл

Уравнение может описывать **упругие поперечные колебания** струны переменной плотности:

$u(x)$  - отклонение струны от положения равновесия

$k(x) = \exp(\alpha x)$  - коэффициент натяжения струны

Член  $4u$  представляет упругое основание (Винклеровский фундамент)

$f(x)$  - внешняя нагрузка

Также уравнение описывает **стационарное распределение температуры** в стержне с **неоднородной теплопроводностью**:

$u(x)$  - температура в точке

$k(x) = \exp(\alpha x)$  - коэффициент теплопроводности, который экспоненциально изменяется вдоль стержня: при  $\alpha > 0$  теплопроводность увеличивается вдоль стержня, при  $\alpha < 0$  - уменьшается

Член  $4u$  представляет теплообмен с окружающей средой (конвекцию)

$f(x)$  - плотность источников тепла

## 5 Выводы

Метод конечных элементов хорошо справляется с решением задачи для различных  $n$ ,  $\alpha$  и  $f(x)$ . Переменный коэффициент  $k(x)$  существенно влияет на форму решения, что соответствует физическому смыслу: в областях с высокой теплопроводностью температура более выровнена, а в областях с низкой теплопроводностью возможны большие перепады температур.

При увеличении числа элементов  $n$  численное решение сходится к точному, где оно известно, и становится более гладким. Для случаев, когда аналитическое решение неизвестно, метод конечных элементов является эффективным инструментом для получения приближённого решения.

## 6 Приложения

### 6.1 Репозиторий кода

[github.com/ksenia-kochergina/MSU\\_term\\_4](https://github.com/ksenia-kochergina/MSU_term_4)

### 6.2 Метод прогонки

Для решения трёхдиагональной системы используется метод прогонки (алгоритм Томаса):

Прямой ход:

$$\begin{aligned}C_1 &= \frac{A_{12}}{A_{11}} \\D_1 &= \frac{b_1}{A_{11}} \\C_i &= \frac{A_{i,i+1}}{A_{ii} - A_{i,i-1}C_{i-1}} \\D_i &= \frac{b_i - A_{i,i-1}D_{i-1}}{A_{ii} - A_{i,i-1}C_{i-1}}\end{aligned}$$

Обратный ход:

$$\begin{aligned}x_{N-1} &= D_{N-1} \\x_i &= D_i - C_i x_{i+1}\end{aligned}$$

### 6.3 Квадратурный метод Гаусса

Для нахождения правой части системы уравнений, необходимо найти интегралы от  $f(x)$ , численно это возможно сделать с помощью квадратурного метода Гаусса, который аппроксимирует интеграл функции как взвешенную сумму значений функции в специально выбранных точках  $x_i$  (узлах) с весами  $w_i$ :

$$\int_a^b f(x)dx \approx \sum_{i=1}^n w_i f(x_i)$$

#### 1. Определение узлов и весов

Здесь используется квадратура Гаусса с 2 узлами на стандартном интервале  $[-1, 1]$ . Узлы расположены в точках  $\pm 1/\sqrt{3}$ , а веса равны 1 для каждого узла. Эта квадратура точна для полиномов степени до 3, что достаточно для линейных элементов.

#### 2. Преобразование координат

Поскольку квадратура определена на интервале  $[-1, 1]$ , а наши элементы находятся на  $[\text{left\_node}, \text{right\_node}]$ , мы выполняем аффинное преобразование координат:

$$x(\xi) = \frac{\text{left} + \text{right}}{2} + \frac{h}{2}\xi$$

где  $\xi$  - координата в стандартном интервале  $[-1, 1]$ ,  $x$  - координата в физическом элементе. Якобиан этого преобразования равен  $h/2$ , поэтому вес умножается на этот множитель.

### 3. Вычисление базисных функций

Для линейных элементов на отрезке  $[a, b]$  базисные функции имеют вид:

$$\phi_0(x) = \frac{b-x}{b-a}, \quad \phi_1(x) = \frac{x-a}{b-a}$$

Их производные постоянны на каждом элементе:

$$\phi'_0(x) = -\frac{1}{h}, \quad \phi'_1(x) = \frac{1}{h}$$

### 4. Вычисление вкладов

- Элементы вектора  $f$  соответствуют линейной форме:

$$f(\phi_i) = \int f(x)\phi_i dx$$

## 6.4 Листинг программы

```

1 import numpy as np
2
3 def method_finite_element_func(n, alpha, f):
4     h = 1.0 / n
5     x_nodes = np.linspace(0, 1, n+1)
6     A = np.zeros((n-1, n-1))
7     b = np.zeros(n-1)
8
9     for i in range(0, n-1):
10         x_i = x_nodes[i+1]
11         x_im1 = x_nodes[i]
12         x_ip1 = x_nodes[i+2]
13
14         if alpha == 0:
15             A[i, i] = 2.0 / h + 8 * h / 3
16         else:
17             A[i, i] = (np.exp(alpha * x_ip1) - np.exp(alpha * x_im1)) / (h**2 *
18 alpha) + 8 * h / 3
19
20         if i < n-2:
21             if alpha == 0:
22                 A[i, i+1] = -1.0 / h + 2 * h / 3
23                 A[i+1, i] = -1.0 / h + 2 * h / 3
24             else:
25                 A[i, i+1] = -(np.exp(alpha * x_ip1) - np.exp(alpha * x_i)) / (h**2 *
26 alpha) + 2 * h / 3
27                 A[i+1, i] = -(np.exp(alpha * x_ip1) - np.exp(alpha * x_i)) / (h**2 *
28 alpha) + 2 * h / 3
29
30 gauss_points = [-1/np.sqrt(3), 1/np.sqrt(3)]
31 weights = [1, 1]
32
33 for i in range(n):
34     left_node = x_nodes[i]
35     right_node = x_nodes[i+1]
36     length = right_node - left_node
37
38     f_local = np.zeros(2)
39
40     for point, weight in zip(gauss_points, weights):
41         xi = (left_node + right_node)/2 + (length/2)*point
42         w = weight * (length/2)
43
44         phi0 = (right_node - xi) / length
45         phi1 = (xi - left_node) / length
46
47         f_val = f(xi)
48         f_local[0] += w * f_val * phi0
49         f_local[1] += w * f_val * phi1

```

```

49         if i > 0:
50             b[i-1] += f_local[0]
51         if i < n-1:
52             b[i] += f_local[1]
53
54     return A, b, x_nodes

```

Листинг 1: Реализация метода конечных элементов на Python

```

1  import numpy as np
2
3  def thomas_algorithm(A, b):
4      n = len(b)
5
6      main_diag = np.diag(A).astype(float)
7      upper_diag = np.diag(A, k=1).astype(float)
8      lower_diag = np.diag(A, k=-1).astype(float)
9
10     c_prime = np.zeros(n-1)
11     d_prime = np.zeros(n)
12
13     c_prime[0] = upper_diag[0] / main_diag[0]
14     d_prime[0] = b[0] / main_diag[0]
15
16     for i in range(1, n-1):
17         denominator = main_diag[i] - lower_diag[i-1] * c_prime[i-1]
18         c_prime[i] = upper_diag[i] / denominator
19         d_prime[i] = (b[i] - lower_diag[i-1] * d_prime[i-1]) / denominator
20
21     denominator = main_diag[n-1] - lower_diag[n-2] * c_prime[n-2]
22     d_prime[n-1] = (b[n-1] - lower_diag[n-2] * d_prime[n-2]) / denominator
23
24     x = np.zeros(n)
25     x[n-1] = d_prime[n-1]
26
27     for i in range(n-2, -1, -1):
28         x[i] = d_prime[i] - c_prime[i] * x[i+1]
29
30     return x

```

Листинг 2: Реализация метода прогонки на Python



## Список литературы

- [1] Г. И. Марчук, В.И. Агошков. Введение в проекционно-свёрточные методы. Наука, Москва, 1981
- [2] Ортега Дж., Пул У. Введение в численные методы решения дифференциальных решений. Наука, Москва, 1986
- [3] Богачев К. Ю. Методы решения линейных систем и нахождения собственных значений. Труды механико-математического факультета МГУ, издательство мехмата МГУ, Москва, 1998